UNIVERSIDADE FEDERAL DE OURO PRETO

Roteamento de Unidades Móveis de Mamografia em Minas Gerais

Patrick Moreira Rosa e Jéssica Natália Miranda Paiva Universidade Federal de Ouro Preto

Orientador: Puca Huachi Vaz Penna Coorientador: Marcone Jamilson Freitas Souza

Relatório técnico-científico apresentado à Próreitoria de Pesquisa e Pós-graduação da Universidade Federal de Ouro Preto, como parte dos requisitos exigidos do Programa de Iniciação à Pesquisa (PIP/UFOP).

Ouro Preto, 30 de Março de 2021

Observação: Referencie este trabalho como:

¹Rosa, P. M.; Paiva, J. N. M.; Penna, P. H. V. e Souza, M. J. F. Roteamento de Unidades Móveis de Mamografia em Minas Gerais. Relatório Técnico, Pró-reitoria de Pesquisa e Pós-graduação, Universidade Federal de Ouro Preto, Ouro Preto, Minas Gerais, março de 2021. Disponível em http://www.decom.ufop.br/prof/marcone/projects/MULP/MMURP-RelatorioTecnico-PIP-2020-2021.pdf.

Roteamento de Unidades Móveis de Mamografia em Minas Gerais

Patrick Moreira Rosa e Jéssica Natália Miranda Paiva Universidade Federal de Ouro Preto

Orientador: Puca Huachi Vaz Penna

Coorientador: Marcone Jamilson Freitas Souza







Resumo

Este trabalho introduz o Problema de Roteamento de Unidades Móveis de Mamografia. Neste problema, apresentamos uma metodologia para otimizar as rotas das Unidades Móveis de Mamografia (MMU) em uma região do Estado de Minas Gerais, composta por 444 locais candidatos. Como parte da metodologia desenvolvida, definimos uma função de avaliação hierárquica que leva em consideração dois objetivos: o primeiro, visa maximizar a cobertura total de exames de mamografia; enquanto o segundo, busca minimizar o custo total do percurso das unidades móveis, isto é, a distância total percorrida por elas. Para tratar o problema, foram desenvolvidos dois algoritmos heurísticos baseados nas meta-heurísticas *Iterated Greedy Search* e *Variable Neighborhood Search*. Para testar os métodos de solução, consideramos dois cenários com a aquisição gradativa de MMUs de capacidades 5069 e 10138, de 8 em 8, até obter 100% da cobertura de exames na região estudada. Os resultados obtidos por ambos os métodos de solução, foram capazes de retornar soluções de boa qualidade, e mostraram que é possível atender 100% da demanda da região estudada em tempo de processamento dos algoritmos de até 500 segundos.

<u>Palavras-chave</u>: Gestão de Recursos, Unidades Móveis de Mamografia, Roteamento de veículos, Sistema Único de Saúde, Mamografia, *Iterated Greedy Search*, *Variable Neighborhood Search*, Heurísticas.

Declaração

Este relatório é fruto de nosso próprio trabalho, exceto onde referência explícita é feita ao trabalho de outros, e não foi submetido a nenhuma outra instituição.

Patrick Moreira Rosa, Jéssica Natália Miranda Paiva, Puca Huachi Vaz Penna e Marcone Jamilson Freitas Souza

Agradecimentos

Os autores agradecem à Coordenação de Aperfeiçoamento de Pessoal de Nível Superior (CAPES, código de financiamento 001), Fundação de Amparo à Pesquisa do Estado de Minas Gerais (FAPEMIG, processo PPM CEX 0676/17), Conselho Nacional de Desenvolvimento Científico e Tecnológico (CNPq, processos 428817/2018-1 e 303266/2019-8) e a Universidade Federal de Ouro Preto (UFOP) pelo apoio ao desenvolvimento deste trabalho.

Sumário

Lista de Figuras		11												
Li	sta d	le Tabelas	13											
1 Introdução														
	1.1	Motivação	18											
	1.2	Limitações do trabalho	18											
	1.3	Objetivos	19											
		1.3.1 Objetivos gerais	19											
		1.3.2 Objetivos específicos	19											
	1.4	Estrutura do trabalho	19											
2	Rev	visão de literatura	21											
	2.1	Localização de Mamógrafos	21											
	2.2	Roteamento de Veículos	23											
3	Car	acterização do Problema	25											
4	Metodologia													
	4.1	Representação da Solução	27											
	4.2	Avaliação da Solução	28											
	4.3	Solução Inicial	28											
	4.4	Estruturas de Vizinhança	29											
	4.5	Busca Local	32											

10 SUMÁRIO

	4.6	Fase de Perturbação	33
	4.7	Iterated Greedy Search	34
	4.8	Variable Neighborhood Search	35
5	Exp	erimentos Computacionais	37
6	Con	clusões e Trabalhos Futuros	41
	6.1	Produtos	42
R	eferê	ncias Ribliográficas	43

Lista de Figuras

3.1	Exemplo de solução com distMax = 180 km	26
4.1	Representação de uma solução s	28
4.2	Inserção do Local 4 entre os Locais 1 e 2 na rota da MMU 1	30
4.3	Troca entre o Local 4 na rota da MMU 1 e o Local 3 na rota da MMU 2 no mesmo depósito	30
4.4	Troca entre o Local 5 na rota da MMU 1 e o Local 6 na rota da MMU 2 em depósitos diferentes	31
4.5	Transferência do Local 3 da rota da MMU 1 para a rota da MMU 2 no mesmo depósito	31
4.6	Transferência do Local 3 da rota da MMU 1 para a rota da MMU 2 em depósitos diferentes	32

Lista de Tabelas

5.1	Resultados IGS	×	VNS	•	•		•	•			•	•	•	•					•	39
5.2	Resultados IGS	×	VNS																	40

Lista de Algoritmos

4.1	RVND	33
4.2	IGS	35
4.3	VNS	36

Capítulo 1

Introdução

O combate ao câncer de mama é hoje um desafio dos órgãos de saúde pública para contornar o grande número de óbitos pela doença. Estimou-se para o ano de 2019, no Brasil, 59700 casos novos da neoplasia maligna da mama em mulheres (INCA, 2019). A Secretaria de Estado de Saúde de Minas Gerais reforça que somente no ano de 2018 ocorreram 1576 óbitos de mulheres por câncer de mama no Estado (SES, 2019).

O exame de mamografia é atualmente o único método de imagem conhecido que apresenta eficácia comprovada na detecção precoce de tumores da mama. Há evidências científicas de que não realizar o exame de rastreamento na faixa de idade indicada pode ser prejudicial a saúde da mulher. Também é comprovado que há um aumento significativo nas chances de cura quando a doença é detectada e tratada em estágios iniciais (INCA, 2019; SES, 2019).

A orientação do Instituto Nacional de Câncer José Alencar Gomes da Silva (INCA) e do Ministério da Saúde (MS) é que 20% da população feminina na faixa de idade de 40 a 49 anos realizem exames anuais de mamografia, sendo 10% por indicação diagnóstica e 10% por outras indicações. Recomenda-se ainda que 100% das mulheres entre 50 a 69 anos façam o exame de rastreamento a cada dois anos, com um adicional de 8,9% anual por indicação diagnóstica (Brasil, 2015; INCA, 2009).

De acordo com as diretrizes do MS, também é indicado que na alocação de mamógrafos fixos, isto é, dos aparelhos que são instalados nos hospitais, seja considerada a distância máxima de 60 quilômetros entre a residência da mulher e o local onde o equipamento será instalado, justamente para facilitar o acesso ao exame (Brasil, 2015).

Há diferentes fatores que dificultam o acesso ao exame de mamografia e que reduzem a participação das mulheres nos programas de rastreamento e prevenção da doença. De acordo com da Cunha et al. (2019), além da utilização inadequada dos recursos de saúde e da falta de especialistas para solicitar os exames, aspectos geográficos também limitam a acessibilidade às mulheres que residem em locais afastados dos leitos hospitalares onde há algum aparelho instalado.

18 Introdução

Diversos estudos da literatura apontam que a localização atual dos mamógrafos é inadequada e que a restrição de deslocamento máximo de 60 quilômetros nem sempre é respeitada (Amaral et al., 2017; Souza et al., 2020). Esses estudos também mostram que há municípios sem atendimentos pelos mamógrafos fixos que, em sua maioria, não possuem infraestrutura hospitalar para adquirir equipamentos e/ou que estão localizados a um raio de distância que excede ao recomendado pelo MS.

Tendo em vista a necessidade de tornar o exame de mamografia mais acessível para as mulheres que residem em locais desprovidos de atendimentos por mamógrafos fixos, uma solução é visitá-las com Unidades Móveis de Mamografia (MMU, da sigla em inglês Mobile Mammography Unit). Para tanto, é necessário planejar as rotas dessas MMUs e otimizá-las por meio de algoritmos especializados para tratar esse tipo de problema. Dessa maneira, introduzimos neste estudo o Problema de Roteamento de Unidades Móveis de Mamografia (MMURP, da sigla em inglês Mobile Mammography Unit Routing Problem), onde pretende-se roteirizar um conjunto de MMUs disponíveis para atender a um conjunto de localidades desprovidas de equipamentos fixos ou em número insuficiente destes. O objetivo é maximizar a cobertura de exames e minimizar a distância total percorrida pelas MMUs. Para resolvê-lo, foram desenvolvidos dois algoritmos heurísticos baseados nas meta-heurísticas Iterated Greedy Search e Variable Neighborhood Search, visto que o MMURP é um caso particular do problema de roteamento de veículos, o qual é NP-difícil (Rosa et al., 2020).

1.1 Motivação

A principal contribuição da presente pesquisa, que a torna relevante, é que ela apresenta uma efetiva proposta de roteamento das unidades móveis de mamografia para o Estado de Minas Gerais, Brasil. Além do aspecto prático, também há contribuição científica. Não se tem conhecimento de trabalhos que contemplam uma solução para o problema objeto deste estudo. Sendo assim, é importante o estudo de propostas, tal como a deste estudo, para melhorar o acesso ao exame de mamografia e dessa maneira aumentar a participação das mulheres nos programas de rastreamento e prevenção da doença. Espera-se com essa abordagem prover o tomador de decisão na área de saúde com ferramentas que possam auxiliá-lo nessa tarefa.

1.2 Limitações do trabalho

Os dados sobre o número de mamógrafos fixos disponíveis em Minas Gerais e a localização atual desses aparelhos, foram obtidos de acordo com as informações disponíveis na base de dados do Ministério da Saúde, porém, nem sempre esses equipamentos estão em operação na prática (Disponível em: http://www2.datasus.gov.br/DATASUS/.Acesso em: Março de 2019.). Além disso, as regras de roteirização das unidades móveis foram

Introdução 19

definidas de acordo com informações fornecidas pelo Hospital do Câncer de Patrocínio Dr. José Figueiredo. Sendo assim, essas regras podem não se aplicar a outras sedes de unidades móveis de mamografia.

1.3 Objetivos

1.3.1 Objetivos gerais

O objetivo geral deste trabalho é estudar as características do Problema de Roteamento de Unidades Móveis de Mamografia (MMURP) e desenvolver um algoritmo heurístico, baseado em meta-heurísticas, para otimizar as rotas das unidades móveis de mamografia.

1.3.2 Objetivos específicos

São objetivos específicos do projeto:

- (1) Identificar as restrições impostas ao MMURP;
- (2) Obter a atual distribuição dos mamógrafos existentes, a fim de identificar as localidades desprovidas de mamógrafos ou com número insuficiente desses equipamentos nos serviços públicos de saúde;
- (3) Obter a relação de todas as localidades que compõem o Estado de Minas Gerais, juntamente com as distâncias reais entre todos os pares de localidades dessas regiões;
- (4) Desenvolver e implementar um algoritmo heurístico de otimização baseado em metaheurísticas para resolver o problema formulado;
- (5) Testar o método heurístico usando dados reais do Estado de Minas Gerais.

1.4 Estrutura do trabalho

O restante deste trabalho está organizado da seguinte forma: no Capítulo 2 é apresentada a revisão de literatura. No Capítulo 3 o problema é descrito com suas respectivas restrições. No Capítulo 4 é definida a metodologia a ser aplicada neste trabalho. No Capítulo 5 são realizados os experimentos computacionais. Por fim, no último capítulo são descritas as conclusões e trabalhos futuros.

Capítulo 2

Revisão de literatura

Neste capítulo, é feita a revisão da literatura sobre a rede de oferta de mamógrafos no Brasil e de pesquisas que tratam de problemas de localização de facilidades na área da saúde. Além disso, são descritos alguns trabalhos que fazem a análise do uso de unidades móveis de mamografia como alternativa para tornar o exame mais acessível para a população feminina. Posteriormente, é organizada uma seção na qual são revisados alguns estudos a respeito do Problema de Roteamento de Veículos, do inglês *Vehicle Routing Problem* (VRP), e de algumas de suas variantes.

2.1 Localização de Mamógrafos

Amaral et al. (2017) observaram que a rede de oferta de mamógrafos no Brasil é ineficiente. Os autores mostraram que o número de mamógrafos disponíveis no território nacional excede ao necessário para atender toda a demanda do país e, mesmo assim, nem todas as mulheres conseguem realizar o exame de mamografia.

A baixa cobertura de atendimentos em algumas regiões se deve a distribuição inadequada dos aparelhos, pois existem municípios em que a oferta de exames de mamografia é alta, porém, a demanda por exames é baixa; Por outro lado, há locais com ociosidade de demanda devido à indisponibilidade de mamógrafos (Xavier et al., 2016).

Além da má localização dos equipamentos, é constatado em Abreu (2015) que aspectos sociais e econômicos também devem ser levados em consideração em um cenário de baixa realização de exames de mamografia. Além do mais, há dificuldades em encontrar profissionais capacitados para operar os aparelhos e médicos para solicitar os exames.

Para aumentar a participação da população em programas de prevenção de doenças, Verter e Lapierre (2002) sugerem localizar as unidades de saúde preventivas próximas às moradias dos pacientes, pois consideram a distância o principal determinante para o baixo número de exames realizados. No trabalho dos autores, é proposta uma for-

mulação matemática baseada no Problema de Localização de Máxima Cobertura, do inglês Maximal Covering Location Problem (MCLP), para decidir onde localizar as unidades de saúde respeitando-se um limite de deslocamento máximo da população até o centro de prevenção, a fim de maximizar a cobertura de atendimentos. Os experimentos realizados no trabalho, mostraram novas perspectivas para projetar um sistema de instalações de saúde preventiva e melhorar a participação da população em exames de prevenção de doenças. Eles ainda reforçam que outras propostas de solução devem ser exploradas para melhorar a participação em locais desprovidos de atendimentos, como por exemplo, com o uso de instalações móveis.

Souza et al. (2020) definem o Problema de Localização de Mamógrafos (PLM) como um problema de localização baseado no MCLP. Neste problema, o objetivo é decidir onde instalar os mamógrafos e quais locais serão atendidos por eles para que a cobertura de exames de mamografia seja máxima. Os autores introduziram um modelo matemático e um método heurístico baseado em Variable Neighborhood Search (VNS) e fizeram uma avaliação do desempenho computacional do VNS perante ao modelo exato utilizando 8 instâncias do Estado de Minas Gerais, Brasil. Os resultados mostraram que o VNS foi capaz de obter soluções de boa qualidade com relação a solução ótima do problema em todas as instâncias testadas. Além disso, o tempo de processamento das soluções retornadas pelo VNS foi melhor do que o tempo de execução do modelo exato em 5 das 8 instâncias usadas nas simulações.

Stanley et al. (2017) desenvolveram um estudo para verificar as características sóciodemográficas de mulheres que realizaram o exame de mamografia em um hospital de
câncer nos Estados Unidos, e das que se submeteram ao exame de rastreamento em
uma unidade móvel, no ano de 2014. Nos experimentos realizados foram utilizadas duas
amostras: a primeira delas de 1434 exames, feitos no centro hospitalar; já a segunda,
de 1433 consultas pela unidade móvel. Os resultados mostraram que as mulheres que
realizaram o exame na unidade móvel eram mais novas do que as pacientes que visitaram
o centro hospitalar, médias de idade de 52,58 e 57,74 anos, respectivamente. Também
foi verificado que as pacientes atendidas seja pelo mamógrafo fixo ou pelo móvel, em sua
maioria, residiam em áreas urbanas. Contudo, foi constatado que as pacientes atendidas
no centro hospitalar eram as mais propensas a aderir às diretrizes de triagem.

Renck et al. (2014) analisaram o uso de uma unidade móvel de mamografia em 33 municípios do Rio Grande do Sul onde não haviam equipamentos fixos disponíveis para atender a demanda por exames de mamografia. De acordo com os registros contidos no trabalho, com a unidade móvel foram examinadas 8607 mulheres e identificados 37 casos novos de câncer de mama que poderiam ter a descoberta mais tardia sem a utilização do mamógrafo móvel.

2.2 Roteamento de Veículos

Dantzig e Ramser (1959) foram pioneiros nas pesquisas sobre o VRP, que no decorrer dos anos se tornou um problema clássico de logística de transporte de cargas (produtos, serviços, pessoas, etc.) na área de otimização combinatória. A partir desses estudos surgiram diversas extensões do problema original, cada qual com um ou mais objetivos, com o intuito de melhorar os processos logísticos de setores industriais.

Freitas et al. (2007) definem o VRP como um problema em que clientes precisam ser atendidos por veículos, sediados em um ou mais depósitos, sendo que cada cliente deve ser visitado uma única vez e por apenas um veículo. Kramer et al. (2016) complementam que o VRP está entre os mais estudados da literatura devido à sua ampla aplicabilidade na resolução de problemas reais envolvendo a definição de rotas para uma frota de veículos.

De acordo com Manguino e Ronconi (2012) existem diversas variantes do VRP clássico que levam em consideração diferentes aspectos, tais como: janelas de tempo; frota de veículos heterogêneas, ou seja, veículos de capacidades distintas; entregas fracionadas, em que um cliente pode ser atendido por múltiplos veículos; múltiplos depósitos, de onde os veículos podem iniciar suas rotas; e muitas outras características que tornam o VRP tão relevante.

Nos problemas de logística mais interessantes e difíceis de solucionar, o número de clientes que devem ser atendidos pelos veículos disponíveis é grande o suficiente para tornar o VRP inviável de ser resolvido em tempo de execução hábil, utilizando-se métodos exatos. Com a dificuldade de encontrar soluções ótimas de instâncias reais em tempo de processamento aceitável, uma alternativa é adotar métodos heurísticos para solucionar o problema quando os métodos exatos não são capazes de tratá-lo (Heinen e Osório, 2006).

Bittencourt et al. (2012) focaram em tratar o Problema de Roteamento de Veículos Capacitado (CVRP) para determinar as rotas de entrega de um frigorífero aviário na região de Juiz de Fora, Minas Gerais. Os autores fizeram uma comparação dos resultados registrados manualmente pelos motoristas com os resultados produzidos pela meta-heurística Busca Dispersa (Scatter Search), proposta no estudo. Eles mostraram que o algoritmo heurístico desenvolvido apresenta soluções de boa qualidade e mais eficientes do que as soluções manuais obtidas.

De la vega et al. (2014) formalizaram um modelo matemático que serve de apoio na decisão de compra de veículos e na definição das rotas de coleta interna em uma empresa do setor automotivo no Brasil. O modelo é definido como um problema de roteamento de veículos com entregas fracionadas e coleta simultânea, e se propõe a reduzir os custos de transporte por meio da roteirização dos veículos na entrega de *pallets* e na coleta de produto terminado.

Lima et al. (2015) propuseram um método heurístico baseado em Algoritmos Genéticos

(AG) para tratar o CVRP. Conforme é descrito no trabalho, os autores utilizaram uma representação cromossômica, por meio de uma matriz binária, para obter uma população inicial para o problema. Para obter soluções factíveis na população inicial, eles aplicaram heurísticas de Gillett e Miller (1974) e após um certo número de gerações sem melhora utilizaram um método de descida para refinar as soluções produzidas pelo AG. A análise sobre o desempenho do método mostrou que foi possível obter soluções satisfatórias comparando-se com as melhores soluções da literatura na época em que o estudo foi desenvolvido.

Capítulo 3

Caracterização do Problema

As características do Problema de Roteamento de Unidades Móveis de Mamografia (MMURP) são descritas a seguir conforme são apresentadas no trabalho publicado em Rosa et al. (2020):

- (a) Existe um conjunto N de localidades que possuem uma demanda dem_j de mulheres na faixa de idade indicada para realizar o exame de mamografia;
- (b) Há um conjunto K de MMUs disponíveis para visitar as localidades candidatas;
- (c) Há um conjunto M de depósitos, cada qual com uma quantidade previamente conhecida de MMUs, e de onde as MMUs iniciam as suas rotas;
- (d) Cada MMU $k \in K$ possui uma capacidade cap_k definida por: $cap_k = Quantidade \ de \ mam\'ografos \ transportado \ pela \ MMU \ k \ \times \ capacidade \ do \ mam\'ografo;$
- (e) Há uma distância d_{ij} entre as localidades $i \in j$;
- (f) Há uma distância máxima, dada por distMax, permitida para uma MMU realizar o percurso de uma localidade a outra. Apenas a viagem inicial partindo do depósito não tem limite de quilometragem;
- (g) Cada localidade deve ser visitada uma única vez e por apenas uma MMU. A demanda da localidade visitada deve ser totalmente atendida;
- (h) O roteamento é aberto, isto é, as MMUs não retornam aos depósitos de origem, elas seguem um percurso enquanto for possível atender as demandas por exames e finalizam a rota na última localidade visitada.

O objetivo é determinar a roteirização para uma frota de MMUs que possibilite maximizar a cobertura de exames de mamografia minimizando a distância total percorrida pelas MMUs.

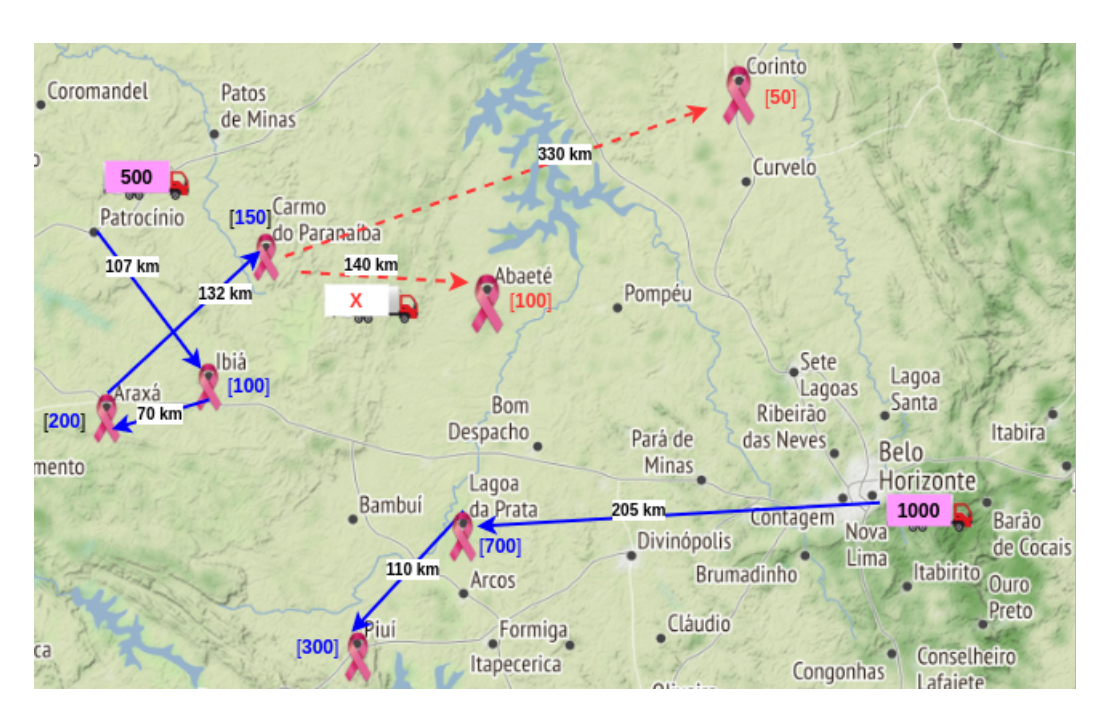


Figura 3.1: Exemplo de solução com distMax = 180 km

A Figura 3.1 mostra um exemplo de solução viável considerando que o limite máximo de deslocamento entre cada par de localidades é de 180 quilômetros, exceto quando o local de partida da MMU é o depósito. Neste exemplo, há 7 localidades candidatas (Abaeté, Araxá, Carmo do Paranaíba, Corinto, Ibiá, Lagoa da Prata e Piuí) e 2 depósitos (Patrocínio e Belo Horizonte), de onde as MMUs iniciam suas rotas. Cada depósito possui uma única MMU, sendo que a MMU de Patrocínio possui a capacidade de realizar 500 exames de mamografia, enquanto a MMU de Belo Horizonte pode atender até 1000 mulheres. Cada localidade possui uma demanda a ser atendida que está representada pelo valor entre colchetes, e a distância entre cada par de localidades é representada pelo valor sobre os arcos. Como pode ser observado na figura, a demanda de Ibiá é de 100 exames, e a distância entre Patrocínio e Ibiá é de 107 quilômetros. Na solução apresentada, os municípios de Ibiá (100), Araxá (200) e Carmo do Paranaíba (150) são atendidos pela MMU que inicia sua rota no depósito de Patrocínio, nesta mesma ordem de visita. Já a MMU que inicia a sua rota em Belo Horizonte atende a demanda dos municípios de Lagoa da Prata (700) e, logo em seguida, de Piuí (300). A demanda total coberta neste exemplo de solução foi de 1450 exames (100 + 200 + 150 + 700 +300), e a distância total percorrida pelas MMUs foi de 624 quilômetros (107 + 70 + 132 + 205 + 110). Conforme está destacado pelos arcos na cor vermelha na figura, os municípios de Abaeté e Corinto não puderam ser visitados pela MMU de Patrocínio, pois ao percorrê-los haveria uma inviabilidade na solução, uma vez que as restrições de limite máximo de deslocamento e de capacidade de atendimento da MMU não seriam satisfeitas.

Capítulo 4

Metodologia

Neste capítulo é apresentada a metodologia proposta para tratar o MMURP. É importante destacar que as Seções 4.1, 4.2 e 4.3 são as mesmas descritas na metodologia publicada em Rosa et al. (2020). Inicialmente, na Seção 4.1, é mostrado como uma solução s pode ser representada computacionalmente. Na Seção 4.2, a função de avaliação da solução s é descrita em detalhes. Na Seção 4.3, é apresentado o método construtivo implementado para gerar uma solução inicial para o problema. Na Seção 4.4 são apresentadas as estruturas de vizinhança adotadas para explorar diferentes regiões do espaço de soluções do problema e, logo em seguida, o algoritmo de busca local que utiliza essas vizinhanças durante a busca por ótimos locais. Por último, são descritas as estratégias de eliminação e reconstrução de rotas que são utilizadas na fase de perturbação das meta-heurísticas adaptadas a este estudo: Iterated Greedy Search (IGS) e Variable Neighborhood Search (VNS), vide Seções 4.7 e 4.8, respectivamente.

4.1 Representação da Solução

Representa-se uma solução s do MMURP por meio de até |K| vetores que armazenam em cada posição as localidades percorridas pelas MMUs na ordem em que aparecem na rota. O número |K| de vetores corresponde à quantidade de MMUs disponíveis. Os vetores podem ou não ter tamanhos iguais, dependendo apenas da quantidade de localidades visitadas por cada MMU.

A Figura 4.1 ilustra a representação computacional de uma solução s. Os índices de 1 a 6 representam as posições dos vetores, sendo que cada posição armazena a localidade visitada na ordem em que ela aparece. A primeira posição de cada vetor indica o depósito de onde as MMUs iniciam suas rotas. A MMU 1 tem como ponto de partida o depósito 13 e visita as localidades 4, 11, 5, 3 e 2, respectivamente. Já a MMU 2 inicia sua rota no depósito 14 e visita as localidades 8, 1 e 6. Por último, a MMU 3, que também inicia sua rota no depósito 14, percorre as localidades 10, 7, 12 e 9.

	1	2	3	4	5	6
MMU 1	13	4	11	5	3	2
MMU 2	14	8	1	6		Y
мми з	14	10	7	12	9]

Figura 4.1: Representação de uma solução s

4.2 Avaliação da Solução

Uma solução s do MMURP é avaliada de modo hierárquico. A solução é avaliada inicialmente pela demanda total atendida, conforme é apresentado na Equação (4.1), e caso duas soluções obtiverem o mesmo valor nessa função, a melhor é aquela cuja soma das distâncias percorridas for a menor, como é apresentado na Equação (4.2):

Função de avaliação hierárquica: $f(s) = (f_{dem}(s), f_{dist}(s))$, sendo:

$$f_{dem}(s) = \sum_{(j,k)\in A_1} dem_j \tag{4.1}$$

$$f_{dist}(s) = \sum_{(i,j)\in A_2} d_{ij} \tag{4.2}$$

em que A_1 é o conjunto das associações entre uma localidade j e uma MMU k que a atende na solução s, dem_j é a demanda da localidade j, A_2 é o conjunto das arestas ligando as localidades i e j atendidas por uma MMU, e d_{ij} é a distância entre as localidades i e j.

4.3 Solução Inicial

A construção de uma solução inicial para o MMURP é definida pelos passos seguintes:

- Passo 1 Ordenação: Seja LC a lista de localidades candidatas a serem visitadas pelas MMUs, ordene-a decrescentemente de acordo com a demanda de cada localidade;
- Passo 2 Clusterização: Para cada localidade i da LC ordenada, aloque a localidade i ao depósito mais próximo e elimine-a de LC. Passe para a próxima localidade da lista. Ao final desse passo tem-se uma lista de localidades candidatas para cada depósito.
- Passo 3 Heurística do vizinho mais próximo: Para cada depósito, enquanto houver MMU disponível e localidades ainda não visitadas da lista de candidatas do depósito:

3.1: Inicie a rota de uma nova MMU com a localidade onde se encontra o depósito;

- 3.2: Atenda a demanda do depósito e atualize a capacidade da MMU que foi utilizada para atender a essa demanda.
- 3.3: Determine a localidade mais próxima da última localidade inserida na rota da MMU que ainda não foi visitada;
- 3.4: Verifique se é possível atender a demanda da localidade mais próxima:
 - (a) Se a demanda da localidade mais próxima for menor ou igual à capacidade da MMU e a distância até a localidade mais próxima for menor ou igual a distMax, atenda-a e insira-a na rota da MMU. Atualize a capacidade da MMU e remova a localidade atendida da lista de candidatas do depósito. Volte ao item 3 do Passo 3;
 - (b) Caso contrário, finalize a rota da MMU na última localidade por ela visitada;
- 3.5: Se houver MMU disponível, retorne ao item 1 do Passo 3; caso contrário, encerre o método e retorne as rotas feitas pelas MMUs.

4.4 Estruturas de Vizinhança

Para explorar o espaço de soluções do MMURP são utilizados três movimentos: Inserção, Troca (1,1) e Realocação (1,0). O primeiro movimento é aplicado com o objetivo de aumentar a demanda total coberta, enquanto os demais movimentos visam reduzir a distância total percorrida pelas MMUs. As estruturas de vizinhança adotadas são descritas como segue:

(I) Inserção: A primeira vizinhança consiste em inserir a localidade t que ainda não tenha sido visitada, na rota da MMU k com o valor mais alto de capacidade residual ociosa e que seja capaz de atendê-la. A posição em que a localidade t deve ser inserida na rota da MMU k é a que forneça o menor custo de inserção possível. Para determinar o valor do custo de inserção, aplica-se o cálculo da inserção mais barata descrito em Souza e Penna (2021). Como pode ser observado na Figura 4.2, o Local 4 é inserido na rota da MMU 1, que corresponde a unidade móvel com o valor mais alto de capacidade sobrando para realizar novos atendimentos. Neste exemplo, o menor custo de inserção obtido é o de valor 6. Sendo assim, é possível verificar que o Local 4 deve ser inserido entre os Locais 1 e 2 na rota da MMU 1.

		1								
Candidatos	Demanda		Inserção do Local 4							
Local 4	150			na MMU 1						
Local 5	100		Lo	ocai	s	Cálculo do custo de inserção				
MMU	Ociosidade		i	t	j	dit + dtj – dij				
1	200		13	4	1	5 + 7 – 3 = 9				
2	50		1	4	2	7 + 3 – 4 = 6				
		J								

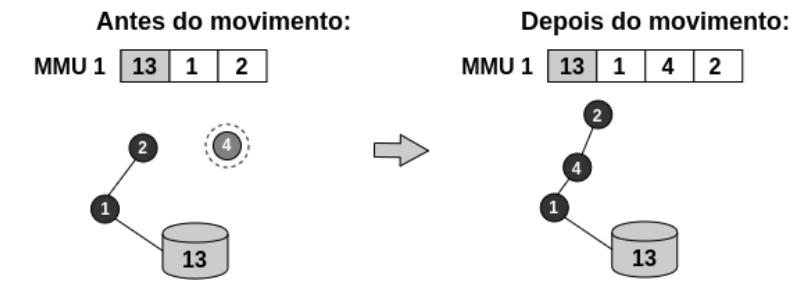


Figura 4.2: Inserção do Local 4 entre os Locais 1 e 2 na rota da MMU 1.

(II) $\mathbf{Troca(1,1)}$: A segunda vizinhança consiste na troca de uma localidade i, visitada por uma MMU, com uma localidade j, percorrida por outra MMU. Esse movimento pode ser realizado entre duas rotas formadas por MMUs com depósitos de origem iguais ou distintos.

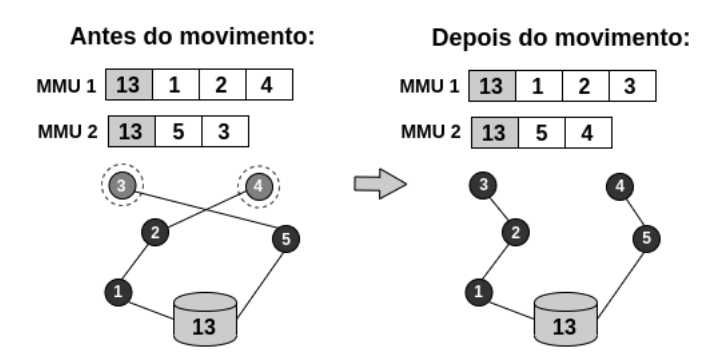


Figura 4.3: Troca entre o Local 4 na rota da MMU 1 e o Local 3 na rota da MMU 2 no mesmo depósito.

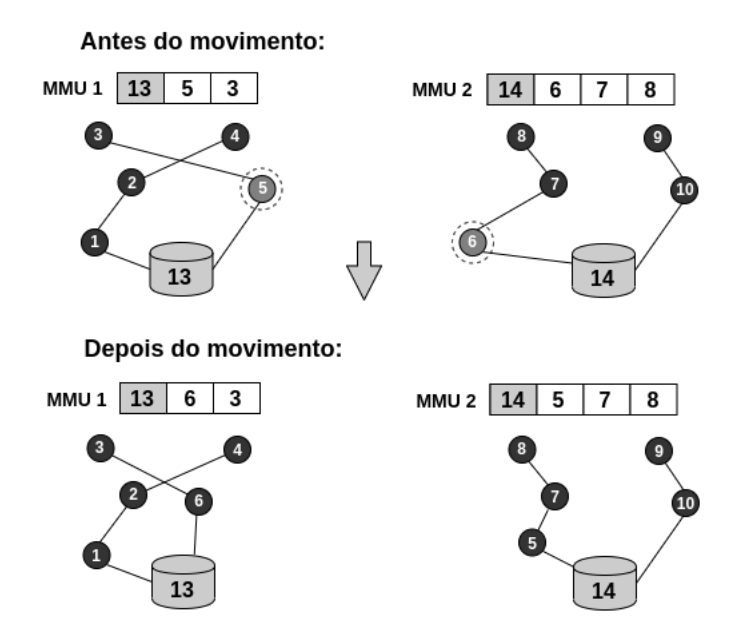


Figura 4.4: Troca entre o Local 5 na rota da MMU 1 e o Local 6 na rota da MMU 2 em depósitos diferentes.

(III) Realocação(1,0): A terceira vizinhança consiste na transferência de uma localidade i da rota de uma MMU, para a rota de outra MMU. Assim como na vizinhança de troca, esse movimento também pode ser realizado entre duas rotas cujo depósito de origem das MMUs é ou não o mesmo, como pode ser observado nas figuras $4.5 \ e \ 4.6$.

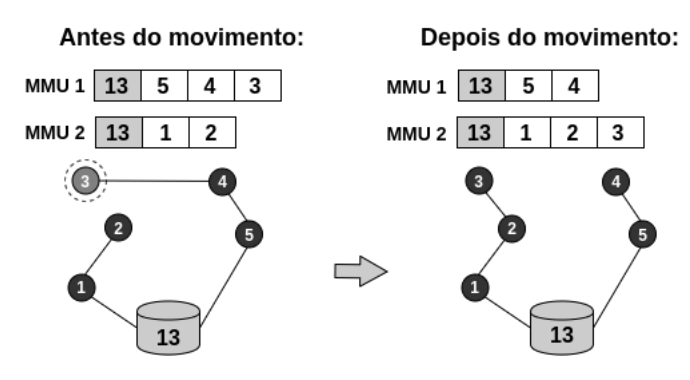


Figura 4.5: Transferência do Local 3 da rota da MMU 1 para a rota da MMU 2 no mesmo depósito.

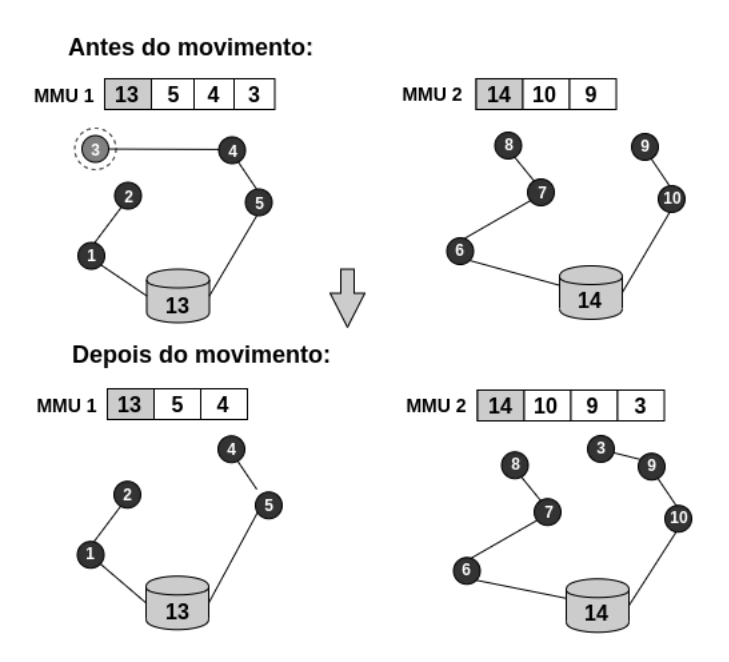


Figura 4.6: Transferência do Local 3 da rota da MMU 1 para a rota da MMU 2 em depósitos diferentes.

4.5 Busca Local

A busca local é feita por meio do algoritmo $Randomized\ Variable\ Neighborhood\ Descent\ (RVND)$ (Souza et al., 2010; Subramanian et al., 2010), utilizando duas implementações da estratégia $First\ Improvement\ (FI)$. A primeira delas, é aplicada com o movimento de inserção, enquanto a segunda, utiliza os movimentos de troca e de realocação. Para evitar que a exploração do espaço de soluções seja ineficiente, leva-se em consideração somente P% dos locais candidatos a entrar na solução, e Q% das rotas mais ociosas que poderão ser usadas para inserir as localidades ainda sem cobertura. Desse valor do percentual P de locais ainda sem atendimento, metade corresponde às localidades que possuam o valor mais alto de demanda não coberta, e a outra metade, se refere aos candidatos com o menor valor de demanda ainda não atendida.

O RVND consiste em explorar o espaço de soluções utilizando uma ordem aleatória na escolha da vizinhança a cada iteração do algoritmo. Caso a vizinhança escolhida melhore a solução corrente, a chamada do método é mantida considerando todas as vizinhanças iniciais, e uma nova escolha de vizinhança é realizada. Caso contrário, a vizinhança adotada é removida do conjunto inicial de vizinhanças. O algoritmo explora o espaço de soluções enquanto houver vizinhanças que melhorem a solução s corrente. O pseudocódigo do RVND é mostrado no Algoritmo 4.1. Inicialmente, o algoritmo recebe a solução s corrente como parâmetro de entrada. Em seguida, inicializa-se o conjunto s0 com os vizinhos descritos na Seção 4.4. A partir da segunda linha, um laço de repetição é mantido enquanto o conjunto s1 v não for vazio. Na terceira linha, escolhe-se aleatoriamente uma vizinhança pertencente a s2, que é passada como parâmetro para o

FI encontrar a primeira solução de melhora em relação a solução corrente. Na quinta linha, a solução retornada pelo FI é avaliada de acordo com a função de avaliação descrita na Seção 4.2. Nessa avaliação, se houver uma melhora, a solução corrente é então atualizada e o conjunto V é reinicializado (linhas 6 e 7). Por outro lado, caso a solução retornada pelo FI de acordo com a vizinhança adotada não apresente uma melhora em relação a solução corrente, a vizinhança é então removida de V, como pode ser observado na linha 9 do algoritmo.

```
Algoritmo 4.1: RVND
```

```
Entrada: s
  Saída: s
1 V \leftarrow Inicialize a lista de vizinhanças;
2 enquanto V \neq \emptyset faça
       v \leftarrow \text{Escolha uma vizinhança } v \in V \text{ aleatoriamente};
       s' \leftarrow \text{Encontre o vizinho de primeira melhora de } s, de acordo com a
4
       vizinhança escolhida;
      se f_{dem}(s') > f_{dem}(s) ou (f_{dem}(s') = f_{dem}(s) e f_{dist}(s') < f_{dist}(s)) então
5
6
           Reinicialize V:
7
       senão
8
          Remova v de V;
9
```

4.6 Fase de Perturbação

A fase de perturbação dos algoritmos IGS e VNS (vide Seções 4.7 e 4.8), consiste em esvaziar r < |K| rotas da solução s corrente e em seguida reconstruí-las. O algoritmo IGS aplica a estratégia de eliminação de rotas selecionando as r rotas mais ociosas da solução s corrente. As r rotas mais ociosas, são aquelas construídas pelas MMUs que possuam o valor mais alto de capacidade residual. Para tanto, inicialmente as MMUs são ordenadas decrescentemente de acordo com o valor de sua capacidade residual ociosa. Uma vez que é realizada a ordenação, escolhe-se as r primeiras rotas que deverão ser esvaziadas, isto é, as localidades atendidas nessas rotas serão removidas e reinseridas na lista das localidades candidatas que ainda não foram atendidas por nenhuma MMU. Por outro lado, o VNS utiliza uma escolha aleatória das r rotas que deverão ser removidas da solução s corrente. A etapa de reconstrução das rotas, é realizada aplicando-se os mesmos princípios da vizinhança de inserção, descritos na Seção 4.4. Assim como é feito no método de busca local, para reconstruir as rotas leva-se em consideração apenas P% dos locais candidatos a entrar na solução, e Q% das rotas mais ociosas que poderão ser usadas para inserir as localidades ainda sem cobertura.

4.7 Iterated Greedy Search

O algoritmo Iterated Greedy Search (IGS) foi proposto por Ruiz e Stützle (2008) com o objetivo inicial de tratar o problema de escalonamento de tarefas/jobs à um conjunto de máquinas. Desde então, a metodologia aplicada no algoritmo tem se mostrado eficiente para tratar outros problemas de otimização combinatória conhecidos na literatura. O IGS é uma meta-heurística que utiliza em sua fase de perturbação os princípios de destruição e reconstrução da solução a fim de cobrir diferentes regiões do espaço de busca. Este conceito base, de eliminar e reconstruir, foi adaptado ao problema tratado neste estudo, e é aplicado na fase de perturbação do algoritmo conforme foi explicado na seção anterior. O pseudocódigo do IGS é apresentado no Algoritmo 4.2 e descrito como segue: inicialmente, o algoritmo recebe iter Max como parâmetro de entrada. Esse parâmetro, indica o número máximo de iterações sem melhora que é permitido antes que o algoritmo seja finalizado. Na primeira linha, uma lista LC é inicializada com as localidades candidatas. Em seguida, uma solução inicial é construída de acordo com os passos explicados na Seção 4.3. Feito isso, aplica-se a busca local sob a solução inicial por meio do algoritmo RVND (vide Seção 4.5). Nas linhas 4 e 5, inicializa-se tanto a variável de controle do número de iterações sem melhora do algoritmo, quanto a variável que armazena a iteração em que ocorrer uma melhora em relação a solução scorrente. Na sexta linha, o nível de destruição de rotas é inicializado com o valor 1, que indica que uma rota será esvaziada na fase de perturbação. A partir da sétima linha, um laço de repetição é mantido enquanto o critério de parada não for satisfeito. Neste laço, primeiramente, cria-se uma lista LC' auxiliar que armazena os locais ainda sem atendimento e os que são removidos das r rotas mais ociosas (linha 9). Após a chamada da função EliminaRotas (linha 10), a solução é então reconstruída com a aplição da função ReconstroiRotas (linha 11). Posteriormente, aplica-se a busca local sob a solução s'' retornada e, por último, avalia-se a nova solução de acordo com a função de avaliação descrita na Seção 4.2. Caso a solução s'' encontrada seja uma solução de melhora, a solução s corrente é então atualizada, bem como, a lista LC e as variáveis bestIter e r. Contudo, caso não haja uma melhora em relação a solução s corrente, o nível de destruição de rotas é incrementado em 1.

Algoritmo 4.2: IGS

```
Entrada: iterMax
   Saída: s
 1 Inicialize LC com as localidades candidatas;
 s_0 \leftarrow \text{Construa uma solução inicial};
s \leftarrow \text{BuscaLocal}(s_0);
 4 iter \leftarrow 0;
 5 bestIter \leftarrow iter;
 6 r \leftarrow 1;
   enquanto iter - bestIter < iterMax faça
        iter \leftarrow iter + 1;
        LC' \leftarrow LC:
9
        s' \leftarrow EliminaRotas(s, r, LC'); // Elimina r rotas mais ociosas
10
        s'' \leftarrow ReconstroiRotas(s', LC');
11
        s'' \leftarrow BuscaLocal(s'');
12
        se f_{dem}(s'') > f_{dem}(s) ou (f_{dem}(s'') = f_{dem}(s) e f_{dist}(s'') < f_{dist}(s)) então
13
            s \leftarrow s'';
14
             LC \leftarrow LC':
15
            bestIter \leftarrow iter;
16
17
            r \leftarrow 1;
        senão
18
            r \leftarrow r + 1;
19
```

4.8 Variable Neighborhood Search

O algoritmo VNS implementado contém os mesmos princípios do IGS apresentado na seção anterior, de eliminar e reconstruir rotas durante a fase de perturbação. A principal diferença entre eles é que no VNS a escolha das rotas que serão destruídas é aleatória, enquanto no IGS escolhe-se as rotas mais ociosas. Além dessas características, o VNS recebe um novo parâmetro de entrada, definido como rMax, que é uma constante que impõe a quantidade máxima de rotas que serão eliminadas a cada iteração do algoritmo. Dessa maneira, o VNS busca explorar regiões cada vez mais distantes a cada iteração, aplicando sucessivas perturbações na solução s corrente. Já o IGS, realiza a perturbação uma única vez a cada iteração do método. O pseudocódigo do VNS é apresentado no Algoritmo 4.3, e ele se difere do Algoritmo 4.2 apenas pelo laço de repetição que consta a partir da linha 10 do algoritmo. Sendo assim, esse laço de repetição deve ser mantido enquanto o nível máximo de eliminação de rotas não for alcançado. O restante do método segue a mesma ideia descrita no algoritmo IGS, na Seção 4.7.

Algoritmo 4.3: VNS

```
Entrada: iterMax, rMax
    Saída: s
 1 Inicialize LC com as localidades candidatas;
 s_0 \leftarrow \text{Construa uma solução inicial};
 s \leftarrow \text{BuscaLocal}(s_0);
 4 iter \leftarrow 0;
 \texttt{5}\ bestIter \leftarrow iter;
 \mathbf{6} enquanto iter-bestIter < iterMax faça
        r \leftarrow 1;
        iter \leftarrow iter + 1;
 8
        LC' \leftarrow LC;
 9
        enquanto r < rMax faça
10
             s' \leftarrow EliminaRotas(s, r, LC'); // Elimina r rotas aleatórias
11
             s'' \leftarrow ReconstroiRotas(s', LC');
12
             s'' \leftarrow BuscaLocal(s'');
13
            se f_{dem}(s'') > f_{dem}(s) ou (f_{dem}(s'') = f_{dem}(s) e f_{dist}(s'') < f_{dist}(s)) então s \leftarrow s'';
15
                 LC \leftarrow LC';
16
                 bestIter \leftarrow iter;
17
                 r \leftarrow 1;
18
             senão
19
              r \leftarrow r + 1;
20
```

Capítulo 5

Experimentos Computacionais

Os algoritmos propostos para tratar o MMURP foram desenvolvidos na linguagem de programação Python, na versão 3.6.9. Todos os testes foram realizados em um computador com processador Intel Core i3-4005U, CPU $@1.70{\rm GHz} \times 4$, com 12 GB de memória RAM sob o sistema operacional Ubuntu, na versão 18.04.

Para definir a calibragem automática dos parâmetros do IGS e do VNS, foi utilizada a ferramenta Irace (López-Ibáñez et al., 2016). Os valores dos parâmetros passados para o Irace calibrar foram: $method \in \{1,2\}$, para a escolha do método a ser aplicado, onde o valor 1 corresponde ao IGS e o valor 2 ao VNS; $iterMax \in \{25, 50, 75\}$, que define a quantidade máxima de iterações sem melhora dos algoritmos; $rMax \in [5, 10]$, que impõe a quantidade máxima de rotas a serem eliminadas durante a fase de perturbação do VNS; $P \in \{0.20, 0.30, 0.40, 0.50, 0.60\}$, que indica o percentual de locais candidatos a serem explorados durante a busca no espaço de soluções; $Q \in \{0.10, 0.15, 0.20, 0.25, 0.30\}$, que indica o percentual das rotas mais ociosas a serem exploradas durante a busca no espaço de soluções; A melhor configuração de parâmetros retornada pelo Irace foi: method = 2, iterMax = 50 e rMax = 6, P = 0.50 e Q = 0.30.

O Estado de Minas Gerais é composto por 853 localidades. O somatório da demanda desses locais totaliza em 1727487 mulheres na faixa de idade recomendada para realizar o exame de mamografia. Em setembro de 2019 o Estado possuía o total de 326 mamógrafos fixos disponíveis para atender a população feminina. Os dados relativos à demanda de cada localidade e o número de mamógrafos fixos disponíveis, foram obtidos de acordo com a base de dados do Ministério da Saúde (Disponível em: http://www2.datasus.gov.br/DATASUS/. Acesso em: Março de 2019.). As informações sobre a população feminina, se referem ao censo de 2010 realizado pelo Instituto Brasileiro de Geografia e Estatística (IBGE), e foram projetadas para o ano de 2020. Essa projeção foi feita levando-se em consideração a demanda por exames das mulheres entre 30 e 59 anos em 2010, que corresponde à demanda estimada das mulheres entre 40 e 69 anos em 2020. As distâncias entre cada par de localidades foram obtidas por meio da API Google Maps, considerando-se o deslocamento por carro.

Para testar os métodos de solução, foi utilizada uma instância relativa a uma região do Estado de Minas Gerais, composta por 444 localidades candidatas que possuem no total 358131 mulheres. Para obter essa instância, foi utilizado o mesmo procedimento descrito no trabalho publicado em Rosa et al. (2020). Inicialmente, foi aplicado o modelo exato de Souza et al. (2019) que simula a situação atual da distribuição dos mamógrafos fixos, e retorna os locais com e sem cobertura por esses equipamentos. A demanda total coberta com a aplicação do modelo matemático de Souza et al. (2019) foi de 1146490 exames, que representa a demanda de 274 locais candidatos. Por outro lado, um total de 579 localidades não foram atendidas pelos mamógrafos fixos. A demanda total das localidades sem atendimento é de 580997 exames, o que representa 33,6% da demanda total de Minas Gerais.

Dessas 579 localidades que ficaram sem atendimento pelos mamógrafos fixos, foram definidos dois critérios para filtrar as candidatas a compor uma solução do MMURP: o primeiro, leva em consideração somente os locais que distam até 500 km dos depósitos considerados, Patrocínio e Belo Horizonte; já o segundo, é utilizado para selecionar apenas as localidades que possuam a demanda inferior à capacidade de um único mamógrafo. O primeiro critério, foi adotado de acordo com as normas de planejamento das MMUs, indicadas pelo Hospital do Câncer de Patrocínio Dr. José Figueiredo. O segundo critério, foi levado em consideração para evitar que uma MMU fique estagnada em um único local por um longo período de tempo, uma vez que esse local possua a demanda alta. Sendo assim, foi realizado um pré-processamento que considera a alocação de mamógrafos fixos nos locais com a demanda alta. Essa alocação é feita até que a demanda residual da localidade candidata seja inferior à capacidade de atendimento do mamógrafo. Ao final desse procedimento, foram selecionadas 444 localidades como candidatas a compor uma solução do MMURP. Essas localidades, são aquelas desprovidas de atendimento por mamógrafos fixos, as que possuem a demanda inferior a capacidade de um único mamógrafo, e as que distam até 500 km dos depósitos considerados.

Os experimentos realizados com os métodos de solução, levam em consideração a aquisição gradativa de MMUs, de 8 em 8, até que a cobertura de exames de mamografia seja a máxima. Para tanto, foram simulados dois cenários que consideram MMUs de capacidades 5069 e 10138 exames. O parâmetro distMax, que impõe o limite máximo de deslocamento da MMU de um local a outro, foi fixado em 180 km. As Tabelas 5.1 e 5.2 mostram uma comparação dos resultados obtidos com a aplicação dos algoritmos IGS e VNS. As colunas dessas tabelas são descritas da seguinte forma: Na primeira coluna, Inst. indica as instâncias usadas nas simulações, que estão enumeradas de acordo com a quantidade de MMUs disponíveis para uso em cada depósito (por exemplo, Inst. = i1 representa uma MMU disponível em Patrocínio e uma disponível em Belo Horizonte); Na segunda coluna, MMUs Usadas é a quantidade de MMUs que de fato foram usadas para atender aos locais candidatos ($MMUs\ Usadas = 1 / 1$, indica que 1 MMU do depósito de Patrocínio foi usada e 1 do depósito de Belo Horizonte também foi usada); Na terceira coluna, Loc. Cob. representa o número total de localidades atendidas. Na quarta coluna, Dem. Cob. mostra a soma da demanda total coberta pelas MMUs de ambos os depósitos; Na quinta coluna, % Cob. equivale ao percentual de cobertura em

relação à demanda inicial de 358131 exames; Na sexta coluna, *Dist.* (km) é a soma da distância total percorrida pelas MMUs de ambos os depósitos. Por último, temos o tempo de execução do algoritmo, em segundos. Os resultados retornados, correspondem a média de 10 execuções realizadas em cada simulação. O tempo máximo definido para cada simulação foi fixado em 500 segundos.

Tabela 5.1: Resultados IGS \times VNS

	Cenário 1: MMUs com capacidade de 5069 exames														
]	IGS				7	/NS						
Inst.	MMUs	Loc.	Dem.	%	Dist.	Tempo	MMUs	Loc.	Dem.	%	Dist.	Tempo			
mst.	Usadas	Cob.	Cob.	Cob.	(km)	(s)	Usadas	Cob.	Cob.	Cob.	(km)	(s)			
i1	1/1	18	10081	2,81%	1384	4,8	1/1	37	10134	2,83%	1751	83,2			
i8	8/8	186	80153	$22,\!38\%$	8490	38,5	8/8	197	80503	$22,\!48\%$	8441	500,0			
i16	15/16	268	154294	43,08%	15894	58,1	15/16	401	155298	$43,\!36\%$	15426	500,0			
i24	15/24	344	191114	$53,\!36\%$	17684	142,4	15/24	397	190846	$53,\!29\%$	17646	500,0			
i32	15/32	389	228563	$63,\!82\%$	19210	153,6	15/32	434	226012	$63,\!11\%$	19400	500,0			
i40	15/40	420	262212	$73,\!22\%$	21493	151,0	15/40	436	257593	71,93%	21592	500,0			
i48	15/48	436	297236	$83,\!00\%$	25352	148,7	15/48	437	292232	$81,\!60\%$	25136	500,0			
i56	15/ 56	439	326817	$91,\!26\%$	28304	163,6	15/ 56	435	324044	$90,\!48\%$	27927	500,0			
i64	15/64	441	347035	96,90%	30165	254,4	15/64	440	347071	$96,\!91\%$	30231	500,0			
i72	15/70	444	358131	$100,\!00\%$	31123	204,6	15/70	444	358131	$100,\!00\%$	31168	500,0			

De acordo com os resultados do primeiro cenário apresentados na Tabela 5.1, verifica-se que em ambos os algoritmos foram necessárias 85 MMUs para cobrir 100% da demanda da região considerada. Além disso, nota-se que a partir da Instância i16 o número de MMUs usadas no primeiro depósito diminui de tal modo que, a partir desse ponto, não adianta adquirir mais MMUs pois todas as localidades candidatas do primeiro depósito já foram inseridas na solução. Com relação a cobertura de exames, pode-se verificar que o IGS obteve soluções melhores do que o VNS em 5 Instâncias (i24, i32, i40, i48 e i56). Por outro lado, o VNS obteve uma maior cobertura de atendimentos do que o IGS em 4 Instâncias (i1, i8, i16 e i64). Além disso, com relação ao tempo de execução dos algoritmos, o IGS foi superior ao VNS em todas as instâncias testadas.

i40

9/34

444

358131

100,00%

22414

Cenário 2: MMUs com capacidade de 10138 exames **IGS** VNS MMUs% % Tempo Loc. Dem. Dist. Tempo MMUs Loc. Dem. Dist. Inst. Usadas Cob. Cob. Cob. (km) (s) Usadas Cob. Cob. Cob. (km) (s) 1/128 20219 5,65% 1814 4,1 1/150 20272 5,66% 2642101,0 i1 270 45,07% 34,1 8/8 13316i8 8/8 161394 13049 398 161300 45,04%497,49/16i16 389 247326 69,06% 17570 53,8 9/16425 243052 67,87% 17590 500,0 i24 9/24436 310523 86,71% 19794 70,6 9/24424 303880 84,85% 19502 500,0 i32 9/32441 349419 97,57% 21926114,79/32 442 351286 98,09% 22408 500,0

119,3

9/34

444

358131

100,00%

22871

500,0

Tabela 5.2: Resultados IGS \times VNS

A Tabela 5.2, mostra os resultados obtidos do segundo cenário simulado. Conforme é apresentado na tabela, verifica-se que nos dois algoritmos o número de MMUs usadas para atender a todos os candidatos foi de 43 unidades móveis. De maneira semelhante ao que acontece no primeiro cenário, a partir da Instância i16 o incremento de MMUs é interrompido para o primeiro depósito. Com relação a cobertura de exames neste cenário, verifica-se que o IGS retornou soluções melhores do que o VNS em duas Instâncias ($i8\ e\ i16$). Já o VNS, retornou uma maior cobertura de exames do que o IGS em 3 Instâncias ($i1,\ i24\ e\ i32$). Por fim, assim como ocorre no Cenário 1, neste cenário, o IGS superou o VNS em todas as instâncias com relação ao tempo de processamento.

Capítulo 6

Conclusões e Trabalhos Futuros

Neste trabalho, foram apresentados dois algoritmos baseados em meta-heurísticas para tratar o Problema de Roteamento de Unidades Móveis de Mamografia (MMURP) em uma região do Estado de Minas Gerais. Neste problema, apresentamos uma metodologia para otimizar as rotas das unidades móveis de mamografia. Como parte da metodologia desenvolvida, definimos uma função de avaliação hierárquica que leva em consideração dois objetivos: o primeiro, visa maximizar a cobertura total de exames de mamografia; enquanto o segundo, busca minimizar o custo total do percurso das unidades móveis, isto é, a distância total percorrida por elas. Os resultados obtidos, mostraram que com os algoritmos desenvolvidos é possível otimizar as rotas das unidades móveis de mamografia em tempo de processamento dos algoritmos de até 500 segundos, e ter uma cobertura de 100% da demanda da região estudada. Além disso, se considerarmos a junção da aplicação do método de solução de Souza et al. (2019) para otimizar a localização dos mamógrafos fixos, com os métodos de solução desenvolvidos neste trabalho para a otimização das rotas das unidades móveis, é possível propor aos gestores de saúde um planejamento otimizado da utilização dos mamógrafos, fixos e móveis, a fim de buscar o atendimento de 100% das mulheres, não somente no Estado de Minas Gerais.

Como trabalhos futuros, pretende-se desenvolver e testar outros algoritmos construtivos para melhorar a qualidade da solução inicial e, consequentemente, a eficiência das meta-heurísticas em encontrar soluções de boa qualidade mais rapidamente. Ademais, pretende-se dar continuidade na revisão de literatura a fim de identificar outras características que possam ser impostas ao MMURP, tais como, os custos da equipe que opera os aparelhos e os custos de manutenção das unidades móveis de mamografia.

6.1 Produtos

O trabalho seguinte, foi originado da metodologia proposta e publicado em:

1) Rosa, O. A. S.; Rosa, P. M.; Souza, M. J. F.; Penna, P. H. V. Um algoritmo construtivo para o problema de roteamento de unidades móveis de mamografia. LII Simpósio Brasileiro de Pesquisa Operacional – LII SBPO. João Pessoa, 2020.

Referências Bibliográficas

- Abreu, G.: 2015, Distribuição geográfica e acesso ao mamógrafo no estado da Bahia, Revista Baiana de Saúde Pública 39(1), 88. Disponível em http://rbsp.sesab.ba.gov.br/index.php/rbsp/article/view/768. Acesso em 03/09/2019.
- Amaral, P., Luz, L., Cardoso, F. e Freitas, R.: 2017, Distribuição espacial de equipamentos de mamografia no Brasil, *Revista Brasileira de Estudos Urbanos e Regionais* 19(2), 326–341.
- Bittencourt, G. C. d., Rodrigues, S., Netto, P. O. B. e Jurkiewicz, S.: 2012, Problema de roteamento de veículos capacitados (prvc): Solução manual x busca dispersa, *Congreso Latino-Iberoamericano de Investigación Operativa Simpósio Brasileiro de Pesquisa Operacional CLAIO SBPO*, Rio de Janeiro, Brasil, pp. 2114–2125.
- Brasil, M. d. S.: 2015, Critérios e parâmetros para o planejamento e programação de ações e serviços de saúde no âmbito do sistema único de saúde: parâmetros sus, Ministério da Saúde. Disponível em www.saude.campinas.sp.gov.br/programas/protocolos/Parametros_SUS_2015.pdf. Acesso em 30/10/2019.
- da Cunha, G. N., de Mello Vianna, C. M., Mosegui, G. B. G., da Silva, M. P. R. e Jardim, F. N.: 2019, Rastreamento do câncer de mama: modelo de melhoria do acesso pelo uso de mamógrafos móveis, *Rev Panam Salud Publica*.
- Dantzig, G. B. e Ramser, J. H.: 1959, The truck dispatching problem, *Management Science* **6**(1), 80–91. Disponível em https://doi.org/10.1287/mnsc.6.1.80. Acesso em 26/09/2019.
- De la vega, D. S., Marquez, M. F. R., Arteaga, A. M., Silva, J. E. e Vieira, J. G. V.: 2014, Problema de roteamento de veículos com entregas fracionadas e coleta simultânea: Uma aplicação para a logística interna, XLVI Simpósio Brasileiro de Pesquisa Operacional Pesquisa Operacional na Gestão da Segurança Pública, Salvador, BA, Brasil, pp. 1496–1508.
- Freitas, L. M. B., Arroyo, J. E. C. e Montané, F. A. T.: 2007, Heurística VNS para o problema de roteamento de veículos com coleta e entrega simultânea, Simpósio de Pesquisa Operacional e Logística da Marinha SPOLM, Rio de Janeiro, Brasil.

- Heinen, M. R. e Osório, F. S.: 2006, Algoritmos genéticos aplicados ao problema de roteamento de veículos, *Hífen* **30**(58), 90–95.
- INCA: 2009, Parâmetros para o rastreamento do câncer de mama: recomendações para gestores estaduais e municipais, INCA. Disponível em http://bvsms.saude.gov. br/bvs/publicacoes/parametros_rastreamento_cancer_mama.pdf. Acesso em 30/10/2019.
- INCA: 2019, A situação do câncer de mama no brasil: síntese de dados dos sistemas de informação, INCA. Disponível em https://www.inca.gov.br/publicacoes/livros/situacao-do-cancer-de-mama-no-brasil-sintese-de-dados-dos-sistemas-de-informação. Acesso em 25/09/2019.
- Kramer, R. H. F. R., Subramanian, A. e Penna, P. H. V.: 2016, Problema de roteamento de veículos assimétrico com frota heterogênea limitada: um estudo de caso em uma indústria de bebidas, *Gestão & Produção* 23(1), 165–176.
- Lima, S. J. d. A., Santos, R. A. R. e de Araujo, S. A.: 2015, Otimização do problema de roteamento de veículos capacitado e as heurísticas de gillet e miller e descida de encosta, XXXV Encontro Nacional de Engenharia de Produção Perspectivas Globais para a Engenharia de Produção, Fortaleza, CE, Brasil.
- López-Ibáñez, M., Dubois-Lacoste, J., Cáceres, L. P., Birattari, M. e Stützle, T.: 2016, The irace package: Iterated racing for automatic algorithm configuration, *Operations Research Perspectives* 3, 43–58.
- Manguino, J. L. V. e Ronconi, D. P.: 2012, Problema de roteamento de veículos com frota mista, janelas de tempo e custos escalonados, Congreso Latino-Iberoamericano de Investigación Operativa Simpósio Brasileiro de Pesquisa Operacional CLAIO SBPO, Rio de Janeiro, Brasil, pp. 1718–1729.
- Renck, D. V., Barros, F., Domingues, M. R., Gonzalez, M. C., Sclowitz, M. L., Caputo, E. L. e de Moraes Gomes, L.: 2014, Equidade no acesso ao rastreamento mamográfico do câncer de mama com intervenção de mamógrafo móvel no sul do rio grande do sul, brasil, *Cadernos de Saúde Pública* **30**(1), 88–96.
- Rosa, O. A. S., Rosa, P. M., Souza, M. J. F. e Penna, P. H. V.: 2020, Um algoritmo construtivo para o problema de roteamento de unidades móveis de mamografia., LII SIMPÓSIO BRASILEIRO DE PESQUISA OPERACIONAL LII SBPO, João Pessoa, 2020. Disponível em: https://proceedings.science/sbpo-2020/papers/um-algoritmo-construtivo-para-o-problema-de-roteamento-de-unidades-moveis-de-mamografia Acesso em: 19 fev. 2021.
- Ruiz, R. e Stützle, T.: 2008, An iterated greedy heuristic for the sequence dependent setup times flowshop problem with makespan and weighted tardiness objectives, *European Journal of Operational Research* **187**(3), 1143 1159.
 - URL: http://www.sciencedirect.com/science/article/pii/S0377221706008277

- SES: 2019, Saúde da mulher—2019—secretaria de estado de saúde de minas gerais ses, SES. Disponível em http://www.saude.mg.gov.br/saudedamulher. Acesso em 30/10/2019.
- Souza, M. J. F., Coelho, I. M., Ribas, S., Santos, H. G. e Merschmann, L. H. C.: 2010, A hybrid heuristic algorithm for the open-pit-mining operational planning problem, *European Journal of Operations Research* **207**(2), 1041–1051.
- Souza, M. J. F. e Penna, P. H. V.: 2021, Heurísticas construtivas. notas de aula de técnicas metaheurísticas para otimização combinatória. Disponível em http://www.decom.ufop.br/prof/marcone/Disciplinas/InteligenciaComputacional/HeuristicasConstrutivas.pdf. Acesso em 15/01/2021.
- Souza, M. J. F., Penna, P. H. V., Moreira de Sá, M. V. S. e Rosa, P. M.: 2020, A vns-based algorithm for the mammography unit location problem, in R. Benmansour, A. Sifaleras e N. Mladenović (eds), Variable Neighborhood Search: 7th International Conference, ICVNS 2019, Rabat, Morocco, October 3–5, 2019, Revised Selected Papers, 1 edn, Vol. 12010 of Lecture Notes in Computer Science, Springer, Cham, Switzerland, chapter 3, pp. 37–52. DOI: https://link.springer.com/chapter/10.1007/978-3-030-44932-2_3. Acesso em 22/04/2020.
- Souza, M. J. F., Penna, P. H. V., Stilpen, M. e Rosa, P. M.: 2019, A vns-based algorithm for solving the mammography unit location problem, *Aceito para publicação nos proceedings da 7th International Conference on Variable Neighborhood Search ICVNS 2019*, Rabat, Marrocos, outubro de 2019.
- Stanley, E., Lewis, M. C., Irshad, A., Ackerman, S., Collins, H., Pavic, D. e Leddy, R. J.: 2017, Effectiveness of a mobile mammography program, *American Journal of Roentgenology* **209**, 1426 1429. Disponível em https://www.ajronline.org/doi/10.2214/AJR.16.17670. Acesso em 23/01/2021.
- Subramanian, A., Drummond, L., Bentes, C., Ochi, L. e Farias, R.: 2010, A parallel heuristic for the vehicle routing problem with simultaneous pickup and delivery, Computers & Operations Research 37(11), 1899 1911. Metaheuristics for Logistics and Vehicle Routing. Disponível em http://www.sciencedirect.com/science/article/pii/S0305054809002779. Acesso em 25/10/2019.
- Verter, V. e Lapierre, S.: 2002, Location of preventive health care facilities, *Annals of Operations Research* **110**, 123–132.
- Xavier, D. R., de Oliveira, R. A. D., de Matos, V. P., Viacava, F. e de Campos Carvalho, C.: 2016, Cobertura de mamografias, alocação e uso de equipamentos nas regiões de saúde, Saúde em debate 40(110), 20–35.